

시변시간지연을 가지는 네트워크기반 제어시스템의 H_2 제어기 설계

H_2 controller Design for Networked Control Systems with Time-Varying Delay

서영수*, 이홍희, 노영식, 강희준
(Young Soo Suh, Hong Hee Lee, Young Shick Ro, and Hee Jun Kang)

Abstract : H_2 controller is proposed for networked control systems with time-varying delay. The time-varying network delay is assumed to be unknown, but its lower and upper bounds are assumed to be known. The time-varying delay is treated like a parameter variation and robust control technique is used to deal with the time-varying delay. The proposed controller can be computed by solving linear matrix inequalities. Through numerical simulations, the proposed controller is verified.

Keywords : networked control systems, time delay, robust control

I. 서론

제어시스템의 구성요소들이 시리얼 네트워크를 통해 연결된 네트워크 기반 제어시스템 (Networked Control Systems) 이 최근 많은 관심을 받고 있다[1-3]. 네트워크 기반 제어시스템은 제어시스템의 결선의 수가 감소하는 등, 제어시스템의 구현이 간단하고 또한 시스템의 변경을 쉽게 할 수 있는 장점이 있다. 그러나 시리얼 네트워크를 사용함으로써 필연적으로 네트워크 시간지연이 발생하는 단점이 생기게 된다 [4]. 이러한 시간지연이 있는 시스템에 대한 제어기설계에 대한 연구로는 네트워크 기반 제어시스템과 관계없이 많은 연구가 이루어져 왔다[5]. 이러한 결과들은 연속시간 또는 이산시간을 가정해 제어기를 구하였기 때문에, 연속시스템 (플랜트)와 이산시스템 (네트워크 시간지연 및 샘플링)이 혼합되어 있는 네트워크 기반 제어시스템에는 바로 적용하기 어려운 점이 있다. 네트워크 기반 제어시스템에서의 시간지연을 고려한 연구결과로는 [6]에서 시간지연이 일정할 때에 제어기를 제안하고 있다. 시간지연이 시변일 때에는 제어기를 설계하는 것이 좀 더 어려운데, [7]에서 시변 시간지연이 있을 때의 LQG 제어기를 제안하고 있다. 이 제어기는 시변 시간지연이 타임스탬프 등의 방법을 사용해 측정가능할 때에만 사용될 수 있다.

본 논문에서는 시변 시간지연요소의 하한 및 상한이 알려져 있고, 정확한 시간지연을 측정할 수 없는 네트워크 기반 제어시스템에 대한 H_2 제어기를 제안한다. 시변 시간지연요소를 일종의 변동하는 파라미터로 취급하여 이 파라미터의 변동에 따른 H_2 놈의 상한을 최소화하는 제어기

를 강인제어의 기법을 사용해 제어기를 구성한다. 즉, 시변 시간지연을 포함한 네트워크 제어기의 설계를 H_2 강인제어 문제로 변환하여 제어기를 설계한다[9].

본 논문의 구성은 다음과 같다. II장에서는 네트워크 기반 제어시스템을 소개하고, 시스템 모델을 유도한다. III장에서는 시변 시간지연요소를 고려한 H_2 제어기를 선형부등식을 사용해 구한다. IV장에서는 제안한 제어기를 검증하기 위해 간단한 모의 실험을 행하고, V장에서는 결론을 내린다.

II. 네트워크 기반 제어시스템

본 논문에서는 그림 1과 같이 플랜트의 센서출력과 제어 명령이 하나의 시리얼 네트워크를 통해 연결된 네트워크 기반 제어시스템을 다룬다. 본 논문에서는 네트워크에 대해서 다음과 같은 가정을 한다.

가정 1 : 플랜트의 센서 출력은 동기화되어 샘플링이 되고, 주기 T 로 제어기로 전송된다.

가정 2 : 네트워크에 의한 시간지연 τ_k 는 플랜트의 센서 출력이 제어기로 가는데 걸리는 시간지연 및 제어기에서 보내는 액추에이터 명령이 액추에이터까지 가는데 걸리는 시간지연의 합이다. 그 값 τ_k 는 시변이고 그 범위가 (1)과 같이 알려져 있다.

$$\tau_{\min} \leq \tau_k \leq \tau_{\max} < T \tag{1}$$

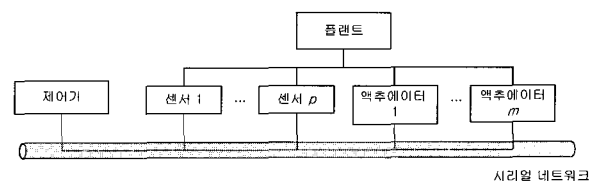


그림 1. 네트워크 기반 제어시스템.
Fig. 1. Networked control systems.

* 책임저자(Corresponding Author)

논문접수 : 2004. 7. 28., 채택확정 : 2004. 10. 1.

서영수, 이홍희, 노영식, 강희준 : 울산대학교 전기전자정보시스템 공학부(suh@icee.org/hhlee@mail.ulsan.ac.kr/ysro@uou2.ulsan.ac.kr/hjkang@ulsan.ac.kr)

※ 본 논문은 한국과학재단 지정 울산대학교 네트워크 기반 자동화연구센터의 지원에 의한 것입니다.

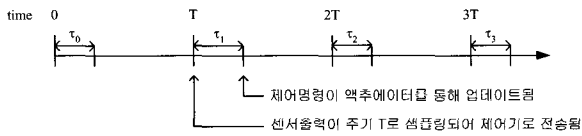


그림 2. 네트워크상의 제어데이터의 시간적 흐름.
Fig. 2. Timing diagram of control data on the network.

가정 3 : 제어기에서 각각의 액추에이터로 가는 명령은 브로드캐스팅을 통하여 동시에 전달된다.

위의 가정에서 가정 2의 τ_{min} 및 τ_{max} 의 값은 네트워크의 종류 및 어떤 스케줄링 방법을 사용하는가에 따라 달라진다. 대부분의 제어용 네트워크의 경우, τ_{max} 가 그렇게 크지 않은 스케줄링 방법이 존재한다. 그림 2는 네트워크상의 제어데이터(센서데이터 및 액추에이터 제어명령)의 전형적인 흐름을 나타낸 것이다.

제어대상인 플랜트 G 는 다음과 같은 선형시불변 시스템이라고 가정한다.

$$G: \begin{cases} \dot{x}(t) = Ax(t) + Bu(t) \\ y(t) = Cx(t) \end{cases} \quad (2)$$

여기서 $x \in R^n$ 은 상태이고, $y \in R^p$ 는 출력이고, $u \in R^m$ 은 제어입력이다. 플랜트 G 에서 (A, B, C) 는 다음의 조건을 만족한다고 가정한다.

조건 1 : (A, B) 는 가제어(controllable)하고 (C, A) 는 가관측(observable)하다.

조건 2 : A 의 서로 다른 고유치 중에서 실수부분은 같고 허수부분의 차가 $\frac{2\pi}{T}$ 의 정수배인 것은 없다.

위에서 조건1은 표준적인 가정이고, 조건2는 플랜트를 이산화한 시스템이 가제어성 및 가관측성을 유지하기 위한 필요충분조건이다[8].

플랜트를 제어하기 위한 제어기로는 다음과 같은 이산시불변 제어기를 사용한다.

$$C(z): \begin{cases} \xi_{k+1} = A_c \xi_k + B_c y_k \\ u_k = C_c \xi_k + D_c y_k \end{cases} \quad (3)$$

본 논문에서는 폐루프 시스템을 안정화하고, 다음의 성능지표를 최소화하는 제어기 $C(z)$ 를 구하는 것이 목표이다.

$$J = \sum_{k=0}^{\infty} (q^2 \|y(kT)\|_2^2 + \|u_k\|_2^2), x(0) = x_0 \quad (4)$$

성능지표 (4)는 초기치가 0이 아닌 상태에서 출력이 빨리 0으로 갈수록 J 의 값이 작아지게 되어 있다. 여기서 q 는 스칼라 상수로서 디자인 파라미터의 역할을 한다. q 의 값이 클수록 출력에 비중을 많이 두게 되어, 과도한 입력을 사용해서라도 출력을 빨리 0으로 만든다.

제어기를 구하기 위해서 먼저 플랜트 G 에 네트워크 시간지연 τ_k 까지 포함한 시스템을 이산시스템으로 표현한다. 센서출력이 주기 T 로 샘플되고, 제어명령도 한 주기에 한

번 갱신됨으로 다음과 같은 이산시스템으로 표현할 수 있다. 이산시스템의 출력, 입력, 상태를 각각 다음과 같이 정의하면

$$y_k \equiv y(kT), \quad u_k \equiv u(kT), \quad \bar{x}_k \equiv \begin{bmatrix} x(kT) \\ u_{k-1} \end{bmatrix},$$

플랜트 G 에 네트워크 시간지연 τ_k 를 포함한 이산시스템 \mathcal{G} 는 다음과 같이 표현된다.

$$\mathcal{G}: \begin{cases} \tilde{x}_{k+1} = \bar{A}_k \tilde{x}_k + \bar{B}_{2,k} \tilde{u}_k \\ y_k = \mathcal{C}_2 \tilde{x}_k \end{cases} \quad (5)$$

여기서

$$\bar{A}_k \equiv \begin{bmatrix} \exp(AT) \int_0^{\tau_k} \exp(A(T-r)) B dr & \\ 0 & 0 \end{bmatrix}$$

$$\bar{B}_{2,k} \equiv \begin{bmatrix} \int_{\tau_k}^T \exp(A(T-r)) B dr \\ I \end{bmatrix}$$

이산시스템 \mathcal{G} 은 시변 시간지연요소 τ_k 를 포함하고 있기 때문에, 시변시스템이 된다.

주어진 성능지표 (4)를 최소화하는 제어기 문제를 H_2 문제로 바꾸기 위해서 다음과 같은 일반화 플랜트를 도입한다.

$$G_\xi: \begin{cases} \tilde{x}_{k+1} = \bar{A}_k \tilde{x}_k + \bar{B}_1 w_k + \bar{B}_{2,k} u_k \\ z_k = \mathcal{C}_1 \tilde{x}_k + \mathcal{D}_{12} u_k \\ y_k = \mathcal{C}_2 \tilde{x}_k \end{cases} \quad (6)$$

여기서

$$\bar{B}_1 \equiv \begin{bmatrix} x_0 \\ 0 \end{bmatrix}, \quad \mathcal{D}_{12} \equiv \begin{bmatrix} 0 \\ I \end{bmatrix}, \quad \mathcal{C}_1 \equiv \begin{bmatrix} qC_2 & 0 \\ 0 & 0 \end{bmatrix}.$$

본 논문에서는 사용되는 시스템 G_ξ 의 w 에서 z 까지의 H_2 놈의 정의는, 임펄스를 w 에 입력시켰을 때의 출력 z_k 에 대해서 다음과 같이 구한다.

$$\|T_{zw}\|_2^2 \equiv \sum_0^{\infty} \|z_k\|_2^2 \quad (7)$$

여기서, T_{zw} 는 w 에서 z 까지의 전달함수를 나타낸다.

만약, 네트워크 시간지연 τ_k 가 상수라고 가정하면, 주어진 성능지표 J 는 (7)의 $\|T_{zw}\|_2^2$ 과 일치하게 된다. 따라서 주어진 성능지표 J 를 최소화하는 제어기를 구하는 문제는 $\|T_{zw}\|_2$ 를 최소화하는 제어기를 구하는 문제로 귀착된다. 실제로는 네트워크 시간지연 τ_k 가 시변이고 그 값이 어떻게 변하는지 정확히 모르기 때문에, $\|T_{zw}\|_2$ 를 정확히 계산할 수 없는 문제점이 있다. 이 어려움을 해결하기 위해, 본 논문에서는 가정 (1)을 만족하는 모든 τ_k 에 대해서 $\|T_{zw}\|_2$ 의 상한을 최소화하는 제어기를 찾기로 한다.

일반화 플랜트 G_g 와 제어기 $C(z)$ 가 결합된 폐루프시스템 T_{zw} 는 다음과 같이 주어진다.

$$T_{zw} \begin{bmatrix} \tilde{x}_{k+1} \\ \zeta_{k+1} \\ z_k \end{bmatrix} = \begin{bmatrix} A_{cl,k} & B_{cl} w_k \\ & C_{cl} \end{bmatrix} \begin{bmatrix} \tilde{x}_k \\ \zeta_k \end{bmatrix} \quad (8)$$

여기서

$$A_{cl,k} = \begin{bmatrix} \bar{A}_k + \bar{B}_{2,k} D_c \bar{C}_2 & \bar{B}_{2,k} C_c \\ B_c \bar{C}_2 & A_c \end{bmatrix}, B_{cl} = \begin{bmatrix} \bar{B}_1 \\ 0 \end{bmatrix}$$

$$C_{cl} = \begin{bmatrix} \bar{C}_1 + \bar{D}_{12} D_c \bar{C}_2 & \bar{D}_{12} C_c \end{bmatrix}$$

보조정리 1에서는 $\|T_{zw}\|_2$ 의 상한을 구하는 문제를 다룬다.

보조정리 1 : $Q = Q' > 0$ 가 범위 $\tau_{\min} \leq \tau_k \leq \tau_{\max}$ 에 속하는 모든 τ_k 에 대해서 다음 선형행렬부등식을 만족하면,

$$A_{cl,k} Q A_{cl,k}' - Q + B_{cl} B_{cl}' < 0 \quad (9)$$

(1)을 만족하는 모든 τ_k 에 대해서, 다음 관계식이 만족된다.

$$\|T_{zw}\|_2^2 \leq \text{Tr}(C_{cl} Q C_{cl}'). \quad (10)$$

증명 : 연속시스템에 대한 증명 [9]을 (8)에 적용하면 (10)이 만족한다는 것을 보일 수 있다. ■

보조정리 1을 이용해 $\|T_{zw}\|_2$ 의 상한을 구하기 위해서는 (1)을 만족하는 모든 τ_k 에 대해서 (9)가 성립하는 Q 를 찾아야 되는데, 이는 용이한 문제가 아니다. 본 논문에서는 τ_k 의 변동에 의해서 변하지 않는 부분과 변하는 부분으로 구분해 건설제어의 기법을 사용해 제어기를 구하기로 한다.

일반화 플랜트 G_g 에서 시변 시간지연요소 τ_k 에 의존하는 부분은 \bar{A}_k 의 $\int_0^{\tau_k} \exp(A(T-r))Bdr$ 및 $\bar{B}_{2,k}$ 의 $\int_{\tau_k}^T \exp(A(T-r))Bdr$ 의 두 곳이 있다. 상수 τ_{nom} 을 사용하여, 다음과 같이 $\Delta(\tau_k, \tau_{nom})$ 을 정의하면,

$$\Delta(\tau_k, \tau_{nom}) \equiv \int_{\tau_{nom}}^{\tau_k} \exp(A(T-r))Bdr \quad (11)$$

시변 시간지연요소 τ_k 에 의존하는 부분은 다음과 같이 나타낼 수 있다.

$$\int_0^{\tau_k} \exp(A(T-r))Bdr = \int_0^{\tau_{nom}} \exp(A(T-r))Bdr + \Delta(\tau_k, \tau_{nom}) \quad (12)$$

$$\int_{\tau_k}^T \exp(A(T-r))Bdr = \int_{\tau_{nom}}^T \exp(A(T-r))Bdr - \Delta(\tau_k, \tau_{nom})$$

(12)의 관계를 이용하여, \bar{A}_{nom} , $\bar{B}_{2,nom}$ 및 $A_{cl,nom}$ 을 다음과 같이 정의한다.

$$\bar{A}_{nom} \equiv \begin{bmatrix} \exp(AT) \int_0^{\tau_{nom}} \exp(A(T-r))B dr & \\ 0 & 0 \end{bmatrix}$$

$$\bar{B}_{2,nom} \equiv \begin{bmatrix} \int_{\tau_{nom}}^T \exp(A(T-r))B dr \\ I \end{bmatrix} \quad (13)$$

$$A_{cl,nom} \equiv \begin{bmatrix} \bar{A}_{nom} + \bar{B}_{2,nom} D_c \bar{C}_2 & \bar{B}_{2,nom} C_c \\ B_c \bar{C}_2 & A_c \end{bmatrix}$$

(11) 및 (13)의 정의를 이용하여, 폐루프시스템을 나타내면 다음과 같다.

$$T_{zw} \begin{bmatrix} \tilde{x}_{k+1} \\ \zeta_{k+1} \\ z_k \end{bmatrix} = (A_{cl,nom} + F_1 \Delta(\tau_k, \tau_{nom}) F_2) \begin{bmatrix} \tilde{x}_k \\ \zeta_k \end{bmatrix} + B_{cl} w_k \quad (14)$$

$$z_k = C_{cl} \begin{bmatrix} \tilde{x}_k \\ \zeta_k \end{bmatrix}$$

여기서

$$F_1 \equiv \begin{bmatrix} I \\ 0 \\ 0 \end{bmatrix}, F_2 \equiv [[0 \ I] - D_c \bar{C}_2, -C_c]$$

(14)에서 시변요소는 전부 $\Delta(\tau_k, \tau_{nom})$ 에 모여 있는 것을 알 수 있다. 논문에서는 $\Delta(\tau_k, \tau_{nom})$ 의 상한행렬 Γ 가 식 (15)와 같이 주어지는 불확실한 부분으로 취급하여 제어기를 구한다.

$$\Gamma = \Gamma' > 0, \Delta(\tau_k, \tau_{nom}) \Delta(\tau_k, \tau_{nom})' \leq \Gamma \quad (15)$$

$$\forall \tau_{\min} \leq \tau_k \leq \tau_{\max}$$

(15)를 이용하여 제어기를 구할 때, 가능하면 $\bar{\sigma}(\Gamma)$ (행렬 Γ 의 최대특이치)가 작게 되는 τ_{nom} 및 Γ 를 구하는 것이 좋다. 이를 위해 먼저 다음 최적화 문제에서 τ_{nom} 을 구한다.

$$\min_{\tau_{\min} \leq \tau_{nom} \leq \tau_{\max}} \max_{\tau_{\min} \leq \tau \leq \tau_{\max}} \bar{\sigma}(\Delta(\tau, \tau_{nom}) \Delta(\tau, \tau_{nom})') \quad (16)$$

(16)의 최적화 문제는 스칼라 변수에 대한 최적화문제이므로 쉽게 최적치 τ_{nom} 을 구할 수 있다. τ_{nom} 을 구한 후, (15)를 만족하는 Γ 를 수치적인 방법으로 구하면 된다.

III. H_2 제어기 설계

II장에서 구한 τ_{nom} 및 $\Delta(\tau_k, \tau_{nom})$ 의 상한행렬 Γ 를 이용해 H_2 제어기를 구한다. $\|T_{zw}\|_2$ 의 상한을 다음 정리에서 구한다.

정리 1 : 다음 부등식을 만족하는 행렬 $P = P'$ 및 $W = W'$ 가 존재하면,

$$\begin{bmatrix} -P & PA_{cl,nom} & PB_{cl} & PF_1 & 0 \\ \star & -P & 0 & 0 & F_2' \\ \star & \star & -I & 0 & 0 \\ \star & \star & \star & -\Gamma^{-1} & 0 \\ \star & \star & \star & \star & -I \end{bmatrix} < 0 \quad (17)$$

$$\begin{bmatrix} P & C_{cl}' \\ C_{cl} & W \end{bmatrix} > 0, \quad (18)$$

폐루프시스템은 안정하고 다음이 성립한다.

$$\|T_{zw}\|_2^2 \leq \text{Tr}(W), \quad \forall \tau_{\min} \leq \tau \leq \tau_{\max}. \quad (19)$$

(17)에서 대칭행렬을 간단히 표시하기 위해 대각행렬 우측 위쪽 부분만 나타내고, 나머지 부분을 \star 로 표시하였다.

증명 : 먼저 (17)을 만족하는 $P=P'$ 가 존재하면, $Q \equiv P^{-1}$ 가 $\Delta A' \leq \Gamma$ 를 만족하는 모든 Δ 에 대해서 다음 식을 만족함을 보인다.

$$\begin{aligned} & Q > 0 \\ & (A_{cl,nom} + F_1 \Delta F_2) Q (A_{cl,nom} + F_1 \Delta F_2)' \\ & - Q + B_{cl} B_{cl}' < 0 \end{aligned} \quad (20)$$

Schur complement에 의해서, (20)은 다음 식과 동가이다.

$$\begin{bmatrix} -P & P(A_{cl,nom} + F_1 \Delta F_2) & PB_{cl} \\ \star & -P & 0 \\ \star & \star & -I \end{bmatrix} < 0. \quad (21)$$

행렬 Δ 가 $\Delta A' \leq \Gamma$ 를 만족할 때, 다음의 관계가 성립함을 쉽게 보일 수 있다.

$$\begin{aligned} & \begin{bmatrix} PF_1 \\ 0 \\ 0 \end{bmatrix} \Delta [0 \ F_2 \ 0] + \begin{bmatrix} 0 \\ F_2' \\ 0 \end{bmatrix} \Delta' [F_1' P \ 0 \ 0] \\ & \leq \begin{bmatrix} PF_1 \\ 0 \\ 0 \end{bmatrix} \Gamma [F_1' P \ 0 \ 0] + \begin{bmatrix} 0 \\ F_2' \\ 0 \end{bmatrix} [0 \ F_2 \ 0] \end{aligned}$$

위 관계식을 (21)에 넣고 Schur complement를 적용시키면, (17)을 만족시키는 $P=P'$ 가 존재하면, $Q \equiv P^{-1}$ 는 (20)을 만족함을 알 수 있다. Δ 의 정의에서 이는 (9)를 만족시키는 Q 가 존재하는 것을 의미한다. 따라서 보조정리 1에서 다음이 성립한다.

$$\|T_{zw}\|_2^2 \leq \text{Tr}(C_{cl} Q C_{cl}') = \text{Tr}(C_{cl} P^{-1} C_{cl}') \quad (22)$$

(18)의 Schur complement에서, 다음을 얻을 수 있다. ■

$$C_{cl} P^{-1} C_{cl}' \leq W \quad (23)$$

(22)와 (23)을 결합하면 (19)가 성립함을 보일 수 있다.

정리 1의 결과 및 [10]의 방법을 이용하여 시변인 네트워크 시간지연을 가지는 시스템의 H_2 제어를 다음 정리에서 구한다.

정리 2 : 다음의 부등식을 만족하는 $X=X', Y=Y', \mathcal{A}, \mathcal{B}, \mathcal{C}$, 및 \mathcal{D} 가 존재하면

$$\begin{bmatrix} -X & -I & E_1 & E_2 \\ \star & -Y & \widehat{A} & Y \widehat{A}_{nom} + \widehat{B} \mathcal{C}_2 \\ \star & \star & -X & -I \\ \star & \star & \star & -Y \\ \star & \star & \star & \star \\ \star & \star & \star & \star \\ \star & \star & \star & \star \end{bmatrix} < 0$$

$$\begin{bmatrix} \mathcal{B}_1 & \begin{bmatrix} I \\ 0 \end{bmatrix} & 0 \\ Y \mathcal{B}_1 & Y \begin{bmatrix} I \\ 0 \end{bmatrix} & 0 \\ 0 & 0 & X \begin{bmatrix} 0 \\ I \end{bmatrix} - \mathcal{C}' \\ 0 & 0 & \begin{bmatrix} 0 \\ I \end{bmatrix} - \mathcal{C}_2' \mathcal{D}' \\ -I & 0 & 0 \\ \star & -\Gamma^{-1} & 0 \\ \star & \star & -I \end{bmatrix} < 0 \quad (24)$$

$$\begin{bmatrix} X & I & X \mathcal{C}_1 + \mathcal{C}' \mathcal{D}_{12}' \\ \star & Y & \mathcal{C}_2' \mathcal{D}' \mathcal{D}_{12}' + \mathcal{C}_1' \\ \star & \star & W \end{bmatrix} > 0 \quad (25)$$

(17) 및 (18)을 만족하는 제어기가 존재한다. 여기서

$$\begin{aligned} E_1 &= \widehat{A}_{nom} X + \widehat{B}_{2,nom} \mathcal{C} \\ E_2 &= \widehat{A}_{nom} + \widehat{B}_{2,nom} \mathcal{D} \mathcal{C}_2. \end{aligned}$$

증명 : 정리 1의 (17)과 (18)에 표준적인 제어기변수의 변환 [10]을 사용한다. 변수치환을 위해, P 및 P^{-1} 을 다음과 같이 파티션한다.

$$P \equiv \begin{bmatrix} Y & N \\ N' & U \end{bmatrix}, \quad P^{-1} \equiv \begin{bmatrix} X & M \\ M' & V \end{bmatrix} \quad (26)$$

여기서 $X=X', Y=Y', U=U'$ 및 $V=V'$ 의 크기는 모두 $(n+m) \times (n+m)$ 이다. [10]에서와 같이 제어기 변수를 다음과 같이 변환한다.

$$\begin{aligned} \widehat{A} &= NA_c M' + NB_c \mathcal{C}_2 X + Y \widehat{B}_{2,nom} C_c M' \\ &\quad + Y(\widehat{A}_{nom} + \widehat{B}_{2,nom} D_c \mathcal{C}_2) X \\ \widehat{B} &= NB_c + Y \widehat{B}_{2,nom} D_c \\ \widehat{C} &= C_c M' + D_c \mathcal{C}_2 X \\ \widehat{D} &= D_c \end{aligned} \quad (27)$$

변환행렬을 Π 를 다음과 같이 정의하여 (17)의 좌변에,

$$\Pi \equiv \begin{bmatrix} X & I \\ M' & 0 \end{bmatrix},$$

Diag (Π, Π, I, I, I) 및 우변에 Diag (Π', Π', I, I, I) 을 곱하면, (24)식을 얻을 수 있다. 마찬가지로 (18)의 좌변에

Diag (Π, I) 및 우변에 Diag (Π', I) 을 곱하면, (25)를 얻을 수 있다. [10]의 증명을 그대로 사용하면, (17)과 (18)을 만족하는 제어기 (A_c, B_c, C_c, D_c) 는 먼저 $MN = I - XY$ 를

만족하는 M 및 N 을 구한 뒤, 다음과 같이 구할 수 있다.

$$\begin{aligned} D_c &= \mathcal{D} \\ C_c &= (\mathcal{C} - D_c \mathcal{C}_2 X)(M^T)^{-1} \\ B_c &= N^{-1}(\widehat{B} - Y \mathcal{B}_{2, nom} D_c) \\ A_c &= N^{-1}(\widehat{A} - N B_c \mathcal{C}_2 X - Y \mathcal{B}_{2, nom} C_c M \\ &\quad - Y(\widehat{A}_{nom} + \mathcal{B}_{2, nom} D_c \mathcal{C}_2 X)M^{-T}) \blacksquare \end{aligned}$$

정리 2에서 시변 시간지연이 있는 시스템에 대한 H_2 제어를 (24) 및 (25)의 선형부등식에서 구할 수 있다. H_2 노미가 최소가 되는 제어기를 구하는 것이 목적이므로, (24) 및 (25)의 선형부등식을 $\text{Tr}(W)$ 의 값을 최소화하면서 구하면 된다. 이 최소화 문제는 Matlab의 LMI toolbox 등을 사용해 쉽게 풀 수 있다.

IV. 모의 실험

제안한 제어기를 검증하기 위하여 간단한 모의실험을 하였다. 제어대상인 플랜트 G 는 다음과 같이 가정하였다.

$$\begin{aligned} \dot{x}(t) &= \begin{bmatrix} -25 & 0 \\ -1 & 0 \end{bmatrix} x(t) + \begin{bmatrix} 30 \\ 0 \end{bmatrix} u(t) \\ y(t) &= \begin{bmatrix} 0 & 34.7 \end{bmatrix} x(t) \end{aligned}$$

여기서 초기치는 다음과 같이 가정하였다.

$$x_0 = \begin{bmatrix} 0 \\ 0.1 \end{bmatrix}$$

샘플주기 $T=4ms$, $q=1$, 및 $\tau_{min}=105\mu s$ 로 고정하고, τ_{max} 를 변화시켰을 때의 (4)식의 성능지표 J 및 계산된 τ_{nom} 의 값이 표 1에 주어져 있다. 표 1에서 γ 는 모의실험을 통해 다음과 같이 구하였다.

$$\gamma = \sum_{k=0}^{1999} (q^2 \|y(kT)\|_2^2 + \|u_k\|_2^2)$$

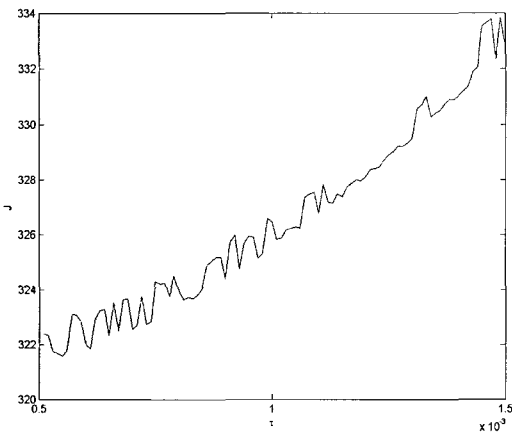


그림 3. τ_k 의 변화에 따른 J 값의 변화.
Fig. 3. Change of J with respect to change of τ_k .

τ_{max} 의 변화에 따른 J 값의 변화를 보다 정량적으로 보기 위해서 그림 3에서 τ_k 를 $500\mu s \sim 1500\mu s$ 의 범위에서 변화시키면서, J 의 값을 그려 보았다. 전체적인 경향으로서

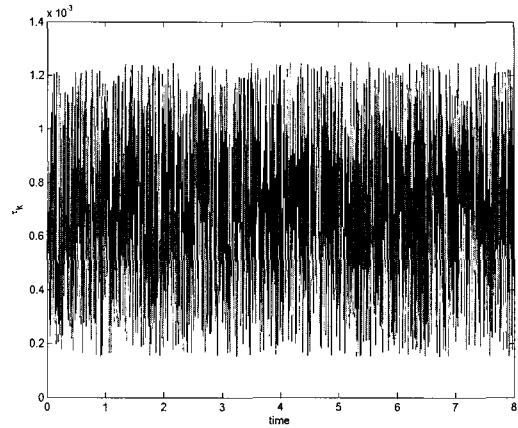


그림 4. 시변 네트워크 시간지연 τ_k .
Fig. 4. Time-varying network delay τ_k .

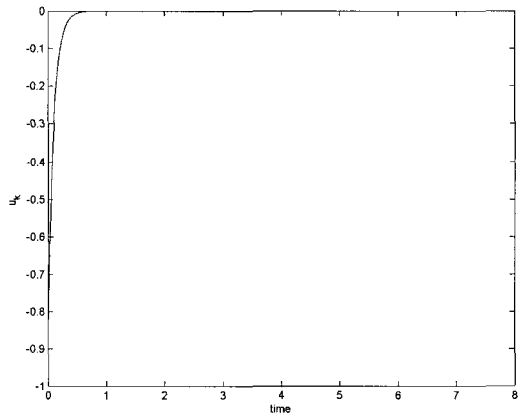
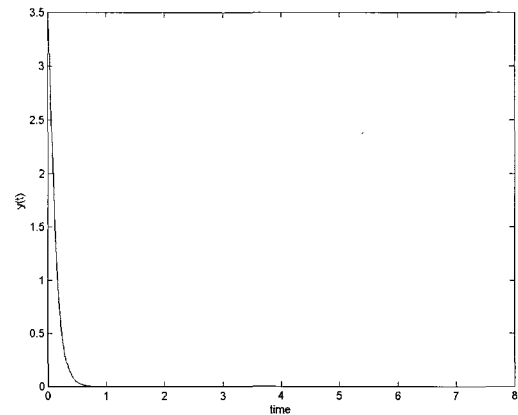


그림 5. 폐루프 시스템에서의 플랜트 G 의 출력 및 제어입력($\tau_{max}=1200\mu s$).
Fig. 5. Plant G output and control input of the closed-loop system($\tau_{max}=1200\mu s$).

표 1. τ_{max} 의 변화에 따른 J , γ , 및 τ_{nom} 의 변화.

Table 1. J , γ , and τ_{nom} variations with respect to τ_{max} change.

τ_{max}	J	γ	τ_{nom}
750 μ s	324.3	251.0	447.0 μ s
1000 μ s	326.5	252.1	570.7 μ s
1200 μ s	328.9	252.9	694.4 μ s

τ_{max} 값이 커질수록 J 의 값이 커짐을 알 수 있다. 즉, 네트워크의 시간지연이 커면 클수록 제어시스템의 성능이 떨어진다고 말할 수 있다. 표 1에서 γ 는 네트워크 시간지연 τ_k 가 그림 4과 같이 시변일때의 수치계산에서 구했다. 참고로, $\tau_{max} = 1200\mu$ s일 때의 Γ 값은 다음과 같이 계산된다.

$$\Gamma = \begin{bmatrix} 0.002046 & 0.00002 \\ 0.00002 & 0.001540 \end{bmatrix}$$

이때의 플랜트의 출력과 제어입력이 그림 5에 주어져 있다.

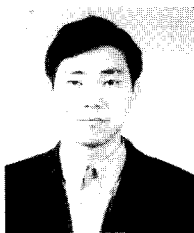
V. 결론

본 논문에서는 시변 시간지연이 존재하는 네트워크 기반 제어시스템에 대해서 시변 시간지연요소를 명시적으로 고려한 H_2 제어를 제안하였다. 시변 시간지연요소를 일종의 파라미터 변동으로 취급하여, 그 변동에 대한 상한을 구해 강인제어의 기법으로 제어를 제안하였다. 제안된 제어기는 선형부동식의 형태로 주어져 쉽게 계산할 수 있다.

시변 시간지연요소의 변동의 상한을 구하는 부분에서 좀 더 정확한 상한을 구하는 방법이 있으면, H_2 제어기의 성능이 좋아질 것으로 기대되고 이에 대한 연구가 앞으로의 과제이다.

참고문헌

- [1] A. Ray, "Introduction to networking for integrated control systems," *IEEE Control Systems Magazine*, vol. 9, no. 1, pp. 76-79, 1989.
- [2] W. Zhang, M. S. Branicky, and S. M. Phillips, "Stability of networked control systems," *IEEE Control Systems Magazine*, vol. 21, no. 1, pp. 84-99, 2001.
- [3] D. D. Blair, D. R. Doan, D. L. Jensen, and T. K. Kim, "Networked intelligent motor-control systems," *IEEE Industry Application Magazine*, vol. 7, no. 6, pp. 18-25, 2001.
- [4] F. Lian, J. R. Moyne, and D. M. Tilbury, "Performance evaluation of control networks: ethernet, controlNet, and deviceNet," *IEEE Control Systems Magazine*, vol. 21, no. 1, pp. 66-83, 2001.
- [5] S. Niculescu, *Delay Effects on Stability*, Springer, 2001.
- [6] J. K. Yook, D. M. Tilbury, and N. R. Soparkar, "A design methodology for distributed control systems to optimize performance in the presence of time delays," *Int. J. Control.*, vol. 74, no. 1, pp. 58-76, 2001.
- [7] J. Nilsson, B. Bernhardsson, and B. Wittenmark, "Stochastic analysis and control of real-time systems with random time delays," *Automatica*, vol. 34, no. 1, pp. 57-64, 1998.
- [8] T. Chen and B. Francis, *Optimal Sampled-data Control Systems*, Springer, 1995.
- [9] A. A. Stoorvogel, "The Robust H_2 control problem: a worst-case design," *IEEE Trans. Automat. Control.*, vol. 37, no. 9, pp. 1358-1370, 1993.
- [10] C. Scherer, P. Gahinet, and M. Chilali, "Multiobjective output-feedback control via LMI optimization," *IEEE Trans. Automat. Control.*, vol. 42, no. 7, pp. 896-911, 1993.



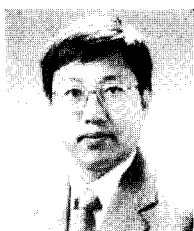
서 영 수

1967년 10월 6일생. 1990년 서울대학교 제어계측공학과 졸업. 1992년 서울대학교 제어계측공학과 (석사). 1997년 동경대학교 (공학박사). 2000년 ~ 현재 울산대학교 전기전자정보시스템공학부 부교수. 관심 분야는 네트워크 기반 제어시스템 설계, 관성센서를 이용한 자세 추정 및 제어.



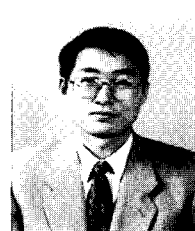
이 흥 희

1957년 10월 15일생. 1980년 서울대학교 전기공학과 졸업. 1982년 동대학원 전기공학과 (석사). 1990년 동대학원 (공학박사). 현재 울산대학교 전기전자정보시스템공학부 교수. 관심 분야는 전력전자, 산업용 네트워크.



노 영 식

1959년 1월 1일생. 1981년 연세대학교 전기공학과 졸업. 1983년 동대학원 전기공학과 (석사). 1987년 동대학원 (공학박사). 1987년 ~ 1991년 삼성전자 생산기술연구소 선임연구원. 1991년 ~ 현재 울산대학교 전기전자정보시스템공학부 교수. 관심 분야는 로봇틱스, 머신 비전, 물류자동화.



강 희 준

1961년 10월 1일생. 1985년 서울대학교 기계공학과 졸업. 1991년 Texas Austin 대학 (공학박사). 1992년 ~ 현재 울산대학교 전기전자정보시스템공학부 교수. 관심 분야는 로봇 제어 및 응용, 햅틱스, 비주얼 서버, 캘리브레이션.